



УДК 669.295:539.5

**СТРУКТУРНЫЕ И ФАЗОВЫЕ ПРЕВРАЩЕНИЯ
ОРТОРОМБИЧЕСКОГО МАРТЕНСИТА
В $(\alpha+\beta)$ -ТИТАНОВОМ СПЛАВЕ BT16
ПРИ ДЕФОРМАЦИОННОМ И ТЕРМИЧЕСКОМ ВОЗДЕЙСТВИИ**

С.С. Манохин, М.Б. Иванов, Ю.Р. Колобов

Научно-образовательный и инновационный центр
«Наноструктурные материалы и нанотехнологии»,
Белгородский государственный университет,
ул. Победы, 85, Белгород, 308015, Россия, e-mail: manohin@bsu.edu.ru

Аннотация. Современными методами аналитической просвечивающей электронной микроскопии (в том числе высокоразрешающей) и рентгеноструктурного анализа (РСА) исследованы структурно-фазовые превращения в титановом сплаве BT16 с исходной структурой орторомбического мартенсита с дополнительной холодной прокаткой на различную степень деформации и последующим отжигом.

Ключевые слова: титановый сплав BT16, распад метастабильных фаз, просвечивающая электронная микроскопия.

1. Введение. Известно, что титановые сплавы обладают рядом преимуществ перед другими металлами и сплавами. Например, в сравнении со сталью, они характеризуются значительно более высокой коррозионной стойкостью и биосовместимостью в средах живых организмов. Они немагнитны и имеют существенно меньший удельный вес. Указанные свойства позволяют титановым сплавам находить широкое применение в медицине при изготовлении имплантатов, а также микрохирургического инструмента [1,2]. Среди титановых сплавов, наиболее предпочтителен для практического использования в медицинском инструментарии $(\alpha+\beta)$ -титановый сплав мартенситного класса BT16, поскольку он обладает достаточно хорошей пластичностью и способен сильно упрочняться при термообработке [3]. Дополнительное ионное азотирование сплава BT16 сnanoфазным упрочнением перспективно для изготовления медицинского инструмента [4]. Природа упрочнения этого сплава связана с фазовыми превращениями в интервале температур 573-873 К.

Цель работы – исследование фазовых и структурных превращений в указанном сплаве после холодной деформации и последующих отжигов.

2. Материалы и методика проведения эксперимента. Исследуемый в данной работе титановый сплав, относится к $(\alpha+\beta)$ -классу системы Ti-Al-Mo-V. Сплав BT16 имеет следующий химический состав (мас.%): Al-3.2, Mo-5.4, V-4.4, Fe-0.6, Zr-0.3, O-0.2, Si-0.1, N-0.05, H-0.0015, остальное Ti.

Термическую обработку образцов, размерами $1 \times 2 \times 4$ см проводили в электропечах сопротивления типа ИТМ 33.1100. Термическую обработку осуществляли в $\alpha+\beta$ -области. Материал закаливали в воду от температуры 1073-1123 К. Листовую холодную прокатку проводили в плоских вальцах при комнатной температуре на степень



20 и 50%. Микроструктуру образцов исследовали методами просвечивающей электронной микроскопии на микроскопе Tecnai G2 F20 S-TWIN при ускоряющем напряжении 200 кВ в режиме просвечивающей электронной микроскопии (ПЭМ) и сканирующей просвечивающей электронной микроскопии (СПЭМ). Распределение химических элементов в сплаве после различных обработок определяли методом энергодисперсионного рентгеноспектрального (ЭДРС) анализа в режиме СПЭМ с использованием приставки фирмы EDAX и программного обеспечения TIA и Genesis Microanalysis. Фазовый состав определяли методом PCA на дифрактометре ARL X'TRA. Съёмка проводилась в монохроматизированном медном излучении CuK_α . Качественный фазовый анализ проводили с помощью программы полнопрофильного анализа PowderCell v2.4.

3. Результаты исследования. Методом пробных закалок установлено, что температура полиморфного превращения (Тп.п.) в исследуемом сплаве составляет 1138 ± 5 К. После закалки из $\alpha + \beta$ -области (Тп.п. -20-40 К) в воду по данным PCA в сплаве присутствуют преимущественно орторомбический мартенсит α'' , первичная α -фаза и небольшое количество метастабильной β -фазы. По данным просвечивающей электронной микроскопии (ПЭМ) микроструктура представлена первичными глобулярными частицами α -фазы и орторомбическим α'' -мартенситом с пластинчатой морфологией и средней толщиной мартенситных пластин порядка 0,5 мкм (рис. 1 а).

После холодной деформации микроструктура сплава утрачивает типичную для мартенситного состояния пластинчатую морфологию (рис. 1 б).

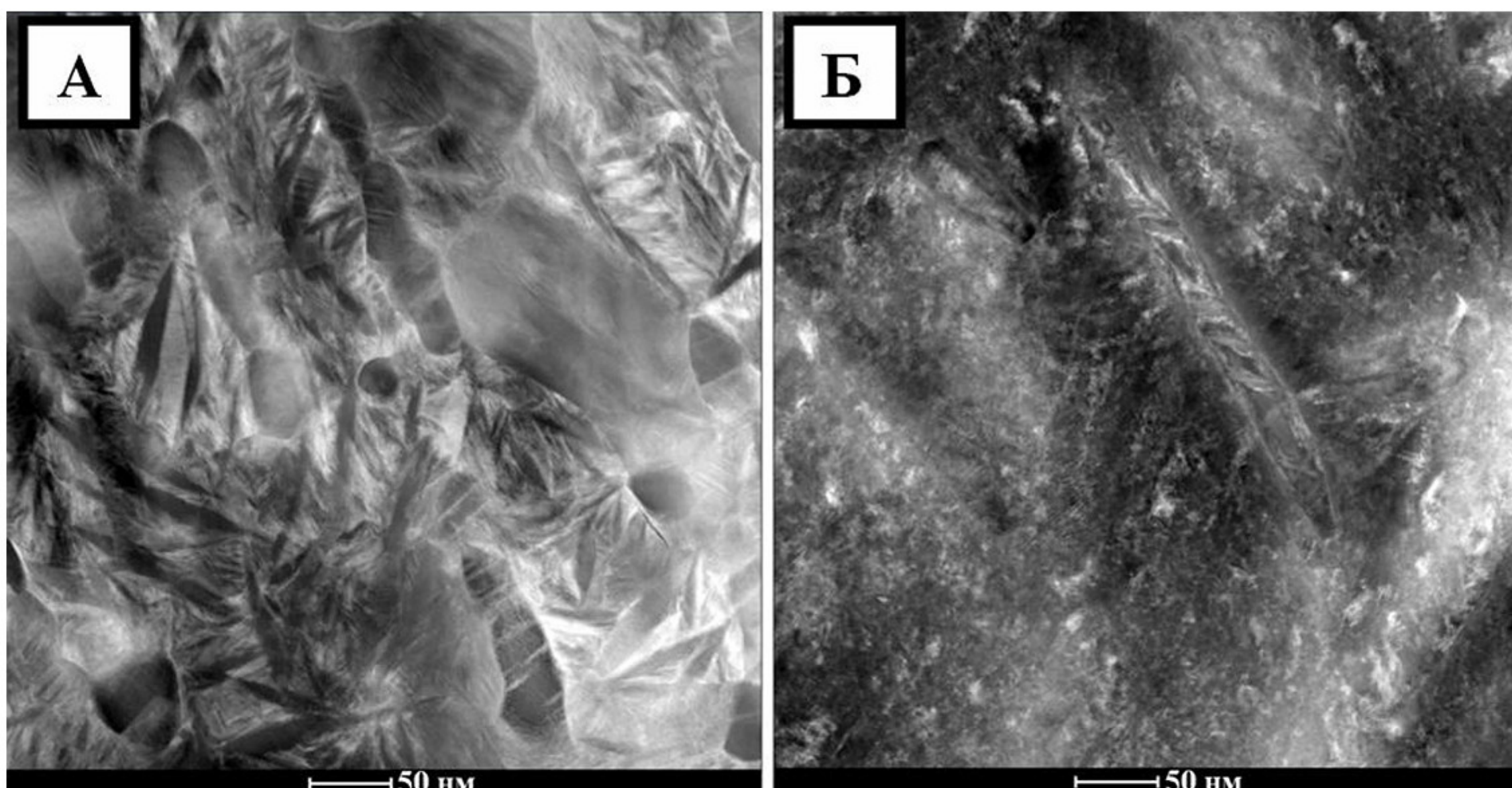


Рис. 1. Структура сплава BT16 в состояниях:
а) после закалки от 1093 К в воду, б) после холодной деформацией прокаткой на 50%.
Сканирующая просвечивающая электронная микроскопия.

Методами PCA установлено, что под воздействием холодной пластической деформации в закаленном материале происходит фазовое превращение $\alpha'' \rightarrow \alpha'$ (рис. 2).

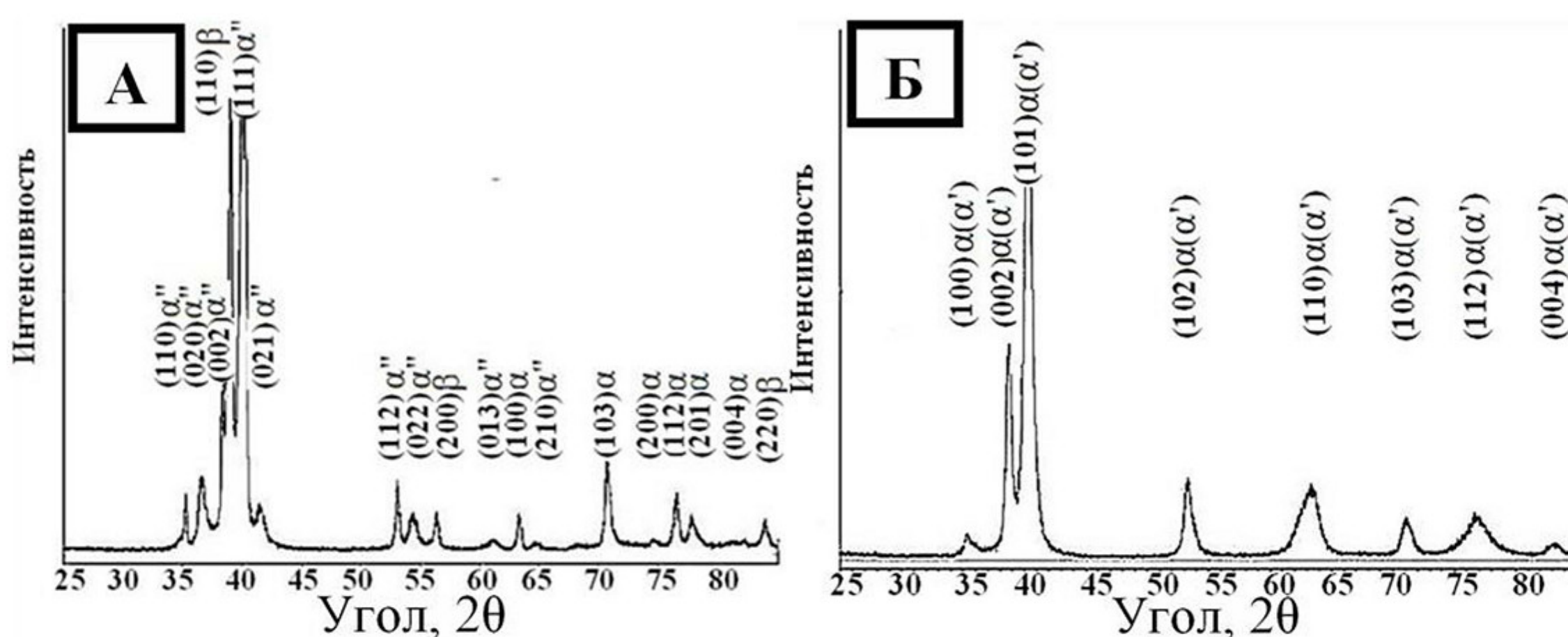


Рис. 2. Рентгенограммы сплава BT16 в состояниях:

а) закалка с 1093 К в воду, б) после закалки с последующей холодной прокаткой на 50%.

По данным РСА после 20% деформации отсутствуют характерные рефлексы орторомбической α'' -фазы в малых углах ($34\text{-}36^\circ$) типа $(110)_{\alpha''}$ и $(020)_{\alpha''}$, а также присутствует характерный рефлекс для α' -фазы отражение типа $(100)_{\alpha'}$. Не обнаруживаются расщепления на пары типа $(111+021)_{\alpha''}$, $(112+022)_{\alpha''}$ и $(200+130)_{\alpha''}$. Слияние каждой пары дублетных максимумов орторомбической фазы, индуцируется как отражения ГПУ α' -фазы. После закалки и последующей холодной деформации на 50% в структуре сплава обнаруживается исключительно α' -фаза (рис. 2).

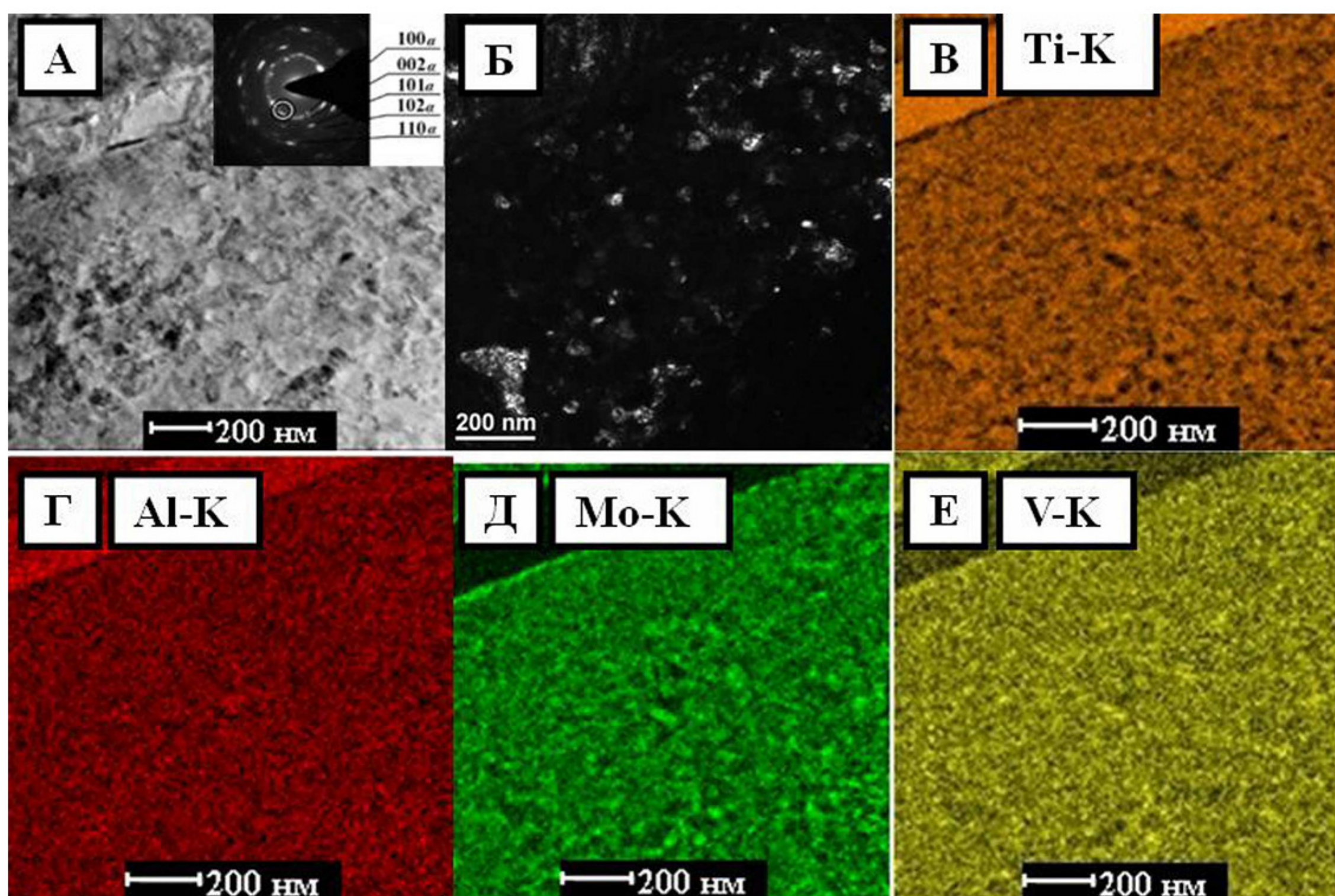


Рис. 3. Микроструктура сплава BT16 после закалки на орторомбический мартенсит, последующей холодной деформации на 50% и отжига при 823 К:

а) СПЭМ и микродифракция с площади 30 мкм^2 ; б) тёмное поле в рефлексах $[100]_{\alpha'}$;
в) - е) распределение элементов по данным ЭДРС анализа.



Отжиг холоднодеформированного мартенсита при температурах 573-773 К приводит к формированию нанофазной структуры. На микродифракционных картинах наблюдается кольцевое распределение рефлексов, сгруппированных в широкие скопления максимумов, свидетельствующих о наличии текстуры (рис. 3 а, 3 б).

Методом ЭДРС анализа установлено, что при отжиге деформированного материала имеет место гомогенный распад метастабильного твёрдого раствора (на основе α' -фазы). Формирующиеся α - и β -фазы имеют морфологию близкую к глобулярной (рис. 3 в – 3 е).

4. Заключение. В закаленном титановом сплаве ВТ16 при холодной деформации происходит фазовое превращение, в ходе которого орторомбический мартенсит пластинчатой морфологии превращается в бесструктурную ГПУ α -фазу. Последующий отжиг приводит к формированию обогащённых и обеднённых легирующими элементами наноразмерных областей. Распад α' -фазы происходит гомогенно, при этом формируются кристаллиты α - и β -фаз размерами порядка 20 нм с морфологией, близкой к глобулярной.

Работа проводилась в рамках ФЦП «Научные и научно-педагогические кадры инновационной России» на 2009-2013 гг. госконтракт №02.740.11.0137 и П329, а также проекта №2.1.2/9427 аналитической ведомственной целевой программы «Развитие научного потенциала высшей школы» с использованием аналитического оборудования Центра коллективного пользования научным оборудованием «Диагностика структуры и свойств наноматериалов» БелГУ.

Литература

1. Wong J.Y. Biomaterials / J.Y. Wong, Y. Joyce , J.D. Bronzino, D. Joseph // New York: CRC Press, 2007. – 365 р.
2. Колобов Ю.Р. Технологии формирования структуры и свойств титановых сплавов для медицинских имплантатов с биоактивными покрытиями / Ю.Р. Колобов // Российские нанотехнологии. – 2009. – №11-12. – С.69-81.
3. Moiseyev N. Titanium Alloys: Russian Aircraft and Aerospace Applications / Moiseyev, N. Valentin // Taylor and Francis, 2006. – 207 р.
4. Вершинин Д.С. Исследование трибологических свойств азотированного титанового сплава ВТ16 / Д.С. Вершинин, М.Ю. Смолякова, С.С. Манохин [и др.] // Заводская лаборатория. Диагностика материалов. – 2010. – 76;12. – С.45-49.



**STRUCTURAL AND PHASE TRANSFORMATIONS OF
ORTHORHOMBIC MARTENSITE
IN THE $(\alpha+\beta)$ -TITANIUM ALLOY VT16
AT DEFORMATION AND THERMAL INFLUENCE**

S.S. Manokhin, M.B. Ivanov, Yu.R. Kolobov

Research, Education and Innovation Centre
“Nanostructured Materials and Nanotechnologies”,
Belgorod National Research University,
Pobedy St., 85, Belgorod, 308015, Russia, e-mail: manohin@bsu.edu.ru

Abstract. Titanium alloy VT16 after cold rolling at various deformation degree and aging have been studied by means of transmission electronic microscopy and X-ray diffraction. Orthorhombic martensite (α'' -phase) under the influence of cold plastic deformation by rolling undergo phase transformations with hexagonal close packing lattice α' -phases formation. It has established that there is the crushing of orthorhombic martensite α'' plates with grain-subgrain nanostructure formation with the deformation degree increasing by rolling and they are formed nanostructure with grain sizes about 20 nm after aging.

Key words: titanium alloy VT16, decomposition of the metastable phases, high-resolution transmission electron microscopy.